

# ПРОБЛЕМЫ МАТЕМАТИЧЕСКОГО АНАЛИЗА

Март 2013

Выпуск 69. С. 3-8

А. С. Демидов

Московский государственный университет  
им. М. В. Ломоносова, Москва, Россия  
Московский физико-технический  
университет, Россия  
alexandre.demidov@mtu-net.ru

Ж.-П. Лоэак

Центральная школа Лион  
Лион, Франция  
Jean-Pierre.Loheac@math.cnrs.fr

В. Рунге

Московский государственный университет  
им. М. В. Ломоносова, Россия  
Центральная школа Лион, Франция  
runge.vincent@gmail.com

## АТТРАКТОР–РЕПЕЛЛЕР В ПРОСТРАНСТВЕ КОНТУРОВ В ЗАДАЧЕ СТОКСА – ЛЕЙБЕНЗОНА ДЛЯ ХИЛЕ – ШОУ ТЕЧЕНИЯ

Показано, что в пространстве квазиконтуров, являющихся свободной границей в задаче Стокса – Лейбензона, имеется многообразие коразмерности 1, некоторые точки которого являются аттрактором в случае стока и репеллером в случае источника, тогда как другие точки являются репеллером в случае стока и аттрактором в случае источника. Библиография: 36 назв. Иллюстрации:

### 1. Задача Стокса–Лейбензона. Теоремы о разрешимости. Возмущение окружности

**1.1.** Классическая постановка задачи Стокса–Лейбензона такова. Пусть  $\Omega_0$  — односвязная область в  $\mathbb{R}^2$ , ограниченная достаточно гладкой кривой  $\Gamma_0$ , окружающей начало координат  $\{0\}$ . Область  $\Omega_0$  соответствует пятну жидкости в некоторый начальный момент, а источник-сток этой жидкости локализован в начале координат  $\{0\} \in \Omega_0$ . Заданная область деформируется следующим образом: в момент  $t$  точка  $\mathbf{s}(t) = (x(t), y(t))$  границы  $\Gamma_t$  области  $\Omega_t$  движется со скоростью  $\dot{\mathbf{s}} = (\dot{x}, \dot{y})$ , определяемой кинематическим условием

$$\dot{\mathbf{s}} = \nabla u \text{ на } \Gamma_t, \quad (1.1)$$

где  $\nabla u = (u_x, u_y)$  — градиент функции  $u(t; \cdot, \cdot) : \Omega_t \rightarrow \mathbb{R}$ , удовлетворяющей условию Стокса [1]

$$u_{xx} + u_{yy} = q\delta(x, y) \text{ в } \Omega_t \quad (1.2)$$

и динамическому условию Лейбензона [2]

$$u = 0 \text{ на } \Gamma_t, \quad (1.3)$$

Работа поддержана C.N.R.S (проект “EDC25172”), регионом Рона-Альпы (проект “CIBLE 2010”) и Российским фондом фундаментальных исследований.

© А. С. Демидов, Ж.-П. Лоэак, В. Рунге, 2013

где  $\delta(x, y)$  —  $\delta$ -функция Дирака, сосредоточенная в начале координат, а ненулевой коэффициент  $q \in \mathbb{R}$  характеризует мощность источника-стока. В дальнейшем будем предполагать, что область  $\Omega_t$  симметрична относительно оси  $x$ . С учетом этого удобно считать, что  $q = 2$ . При этом  $t > 0$  будет соответствовать случаю источника, а  $t < 0$  — случаю стока.

Отметим некоторые результаты исследований задачи (1.1)–(1.3). Они начались с работ Галина [3] и Кочиной [4, 5], опубликованных в 1945 г. В этих работах было выведено уравнение

$$2\pi \operatorname{Re} [\dot{f}(\zeta, t) \overline{\zeta f'(\zeta, t)}] = q, \quad |\zeta| = 1, \quad (1.4)$$

для однолистного отображения  $f(\cdot, t)$  единичного диска  $\{\zeta \in \mathbb{C} \mid |\zeta| \leq 1\}$  на искомую область  $\Omega_t$ . В предположении, что  $f(\zeta, t) = a_1(t) + a_2(t)\zeta + \dots + a_n(t)\zeta^n$ , в [3] была получена система обыкновенных дифференциальных уравнений на коэффициенты  $a_j(t)$ . В случае  $n = 2$  эта система принимает вид [5]

$$a_1^2(t)a_2(t) = a_1^2(0)a_2(0), \quad a_1^2(t) + 2a_2^2(t) = a_1^2(0) + 2a_2^2(0) - qt/\pi.$$

Если  $|a_2/a_1| < 1/2$ , то образ единичной окружности при отображении  $f(\cdot, t)$  есть улитка Паскаля  $\Gamma_0$  с полярным радиусом  $\{r(\theta) = a \cos \theta + b, b > a\}$ . В случае стока (т.е. при  $qt < 0$ ) она за конечное время трансформируется в кардиоиду  $\Gamma_{t_*}$ , острье которой, как оказывается, не достигает точки стока. Далее (т.е. при  $qt < qt_*$ , когда  $|a_2/a_1| > 1/2$ ), отображение  $f(\cdot, t)$  перестает быть однолистным и решение  $t \mapsto \Gamma_t$  прекращает свое существование. Аналогичный эффект для окружности, центр которой сдвинут относительно точки стока был установлен Куфаревым [6]. Спустя 24 года этот результат Куфарева получил Ричардсон [7], опираясь на доказанную им в [7] теорему о постоянстве комплексных моментов

$$M_n \stackrel{\text{def}}{=} \int_{\Omega_t} z^n \overline{dz} \wedge dz, \quad n \geq 1.$$

Первые теоремы о локальной разрешимости уравнения (1.4) были доказаны в [8].

В [3]–[5], [8] задача (1.1)–(1.3) интерпретировалась, как течение вязкой жидкости в срезе пористой среды. Последние десятилетия такого рода задачи довольно часто стали называть задачами о течении Хиле–Шоу, или просто задачей Хиле–Шоу со свободной границей. Интерес к таким задачам особенно усилился за последние годы (см., в частности, [9]–[14] и цитируемую там литературу). Это вызвано не только использованием такого рода течений в инженерной практике, материаловедении, в процессах, связанных с ростом кристаллов (отметим в связи с этим работы [15]–[17]), но и тем, что эти задачи являются хорошими моделями (см., например, [18]–[20]) некоторых весьма сложных двухфазных задач. Поэтому исследование таких моделей позволяет в какой-то мере предугадать особенности главного члена асимптотики решения задач с фазовыми переходами (см., в частности, [21]).

**1.2.** Важным моментом в исследовании задачи (1.1)–(1.3) было осознание того неожиданного факта, что в случае стока ( $qt < 0$ ) решение этой задачи не существует ни при каком сколько угодно малом  $t$ , если начальный контур  $\Gamma_0$  не аналитичен хотя бы в одной точке. Другими словами, при таком начальном контуре сток невозможен: задача не имеет решения. Причина этого разъяснена ниже. А может ли такой (неаналитический) контур сдвинуться в случае источника? Ответ на этот вопрос был получен сравнительно недавно в [22, 23], где было доказано, что при малых временах решение задачи (1.1)–(1.3) в случае источника существует. На первый взгляд, все это удивительно, ибо закон движения контура  $\Gamma_0$  априори никак не зависит ни от его аналитичности, ни от типа “двигателя”: источник или сток. Внутренняя причина этих фактов ниже выявлена при рассмотрении эволюции гармоник слабого возмущения окружности.

Введем в  $\Omega_t^+ = \Omega_t \cap \mathbb{R}_+^2$  функцию  $v$ , гармонически-сопряженную функции  $u$ . Запараметризуем точку  $s(t) \in \Gamma_t^+ = \Gamma_t \cap \mathbb{R}_+^2$  числом  $\eta$ , задающим ту линию уровня  $\{(x, y) \in \Omega_t | v(t; x, y) = \eta\}$  функции  $v$ , которая содержит эту точку  $s(t)$ . В силу симметрии  $\Omega_t$  и выбранного (по этой причине) значения  $q = 2$ , параметр  $\eta$  меняется от нуля до единицы. Тем самым определена непрерывная функция

$$s(t, \cdot) : [0, 1] \ni \eta \mapsto s(t, \eta) = |s_0 s_\eta| \in [0, |\Gamma_t^+|],$$

где  $|s_0 s_\eta|$  — длина дуги  $\overrightarrow{s_0 s_\eta}$  кривой  $\Gamma_t^+$ , отсчитываемая в положительном направлении от точки  $s_0$  пересечения кривой  $\Gamma_t^+$  с положительной полуосью  $x$  до точки  $s_\eta$  пересечения этой кривой с линией уровня  $\{v(t; x, y) = \eta\}$ .

Определим при каждом  $t$  в замыкании полуполосы

$$\Pi = \{u + iv \in \mathbb{C} \mid -\infty < u < 0, 0 < v < 1\}$$

функцию Гельмгольца — Кирхгофа [24] формулой

$$A + iB : w = u + iv \mapsto A(t; u, v) + iB(t; u, v) = \ln \left| \frac{\partial z(t; w)}{\partial w} \right| + i \arg \frac{\partial z(t; w)}{\partial w}, \quad (1.5)$$

где  $z = x + iy \in \Omega_t^+$ . Имеем

$$x(t, v) = x(t, 0) - \int_0^v e^{a(t, \eta)} \sin b(t, \eta) d\eta, \quad y(t, v) = \int_0^v e^{a(t, \eta)} \cos b(t, \eta) d\eta, \quad (1.6)$$

где

$$x(t, 0) = \int_{-\infty}^0 e^{A(t; u, 0)} du,$$

а

$$a(t, v) + ib(t, v) = A(t; 0, v) + iB(t, 0, v). \quad (1.7)$$

Отметим, что поскольку

$$|\nabla u| \Big|_{s=s(t, v) \in \Gamma_t} = e^{-a(t, v)},$$

кинетическое условие (1.1) можно записать в виде

$$e^{-a} = \dot{x} \cos b + \dot{y} \sin b. \quad (1.8)$$

Таким образом, задача (1.1)–(1.3) может быть переформулирована в терминах функций  $a$  и  $b$ . А именно [25], задача (1.1)–(1.3) эквивалентна задаче Коши для нелинейного интегро-дифференциального уравнения

$$\dot{b}(t, v) = e^{-2a} a' + b' e^{-a} \int_0^v [e^a \dot{a} - e^{-a} b'] d\xi, \quad \dot{b} \stackrel{\text{def}}{=} \frac{\partial b}{\partial t}, \quad b' \stackrel{\text{def}}{=} \frac{\partial b}{\partial v} \quad (1.9)$$

относительно функций  $a$  и  $b$ , связанных между собой (при каждом  $t$ ) преобразованием Гильберта: согласно (1.7) функции  $a$  и  $b$  являются следом при  $u = 0$  гармонически-сопряженных в полуполосе  $Q$  функций  $A$  и  $B$ . По-существу, именно это обстоятельство является препятствием для существования решения в случае стока при отсутствии аналитичности кривой  $\Gamma_0$  хотя бы в одной точке. Дело в том, что уравнение (1.9) жестко связывает возможность эволюции функции  $t \rightarrow b(t, v)$ , т.е. эволюции угла наклона касательной к  $\Gamma_t$  в точке  $s_v \in \Gamma_t$ , с эволюцией коэффициента продольной деформации  $\exp a(t, v)$  контура в этой точке. В случае стока (т.е. при  $t < 0$ ), когда контур “съеживается”, продольная деформация контура в точке  $s_v \in \Gamma_0$ , определяемая уравнением (1.9), оказывается невозможной, если в этой точке контур  $\Gamma_0$  не аналитичен. Уравнение (1.9) в этом случае (при любом сколь угодно малом  $-t > 0$ ) неразрешимо по причине, вскрытой в теореме 1.2 и связанной с экспоненциальным убыванием коэффициентов Фурье аналитической функции на окружности.

**1.3.** Заметим, что  $B(t, u, v) \equiv \pi v$  если (и только если) кривая  $\Gamma$  является окружностью  $\{z \in \mathbb{C} \mid |z| = R_0 > 0\}$ , центр которой совпадает с началом координат (т.е. носителем  $\delta$ -функции в уравнении (1.2)). Учитывая это, представим функцию  $b$  в виде

$$b(t, v) = \pi v + \beta(t, v).$$

Заметим, что  $\beta(t, 0) = \beta(t, 1) = 0$  (в силу симметрии и дифференцируемости кривой  $\Gamma$ ), и разложим функцию  $\beta(t, \cdot) : [0, 1] \ni v \mapsto \beta(t, v)$  в ряд Фурье

$$\beta(t, v) = \sum_{k \geq 1} \beta_k(t) \sin \pi k v$$

по ортобазису  $e_k : [0, 1] \ni v \mapsto \sin \pi k v, k \in \mathbf{N}$ , пространства  $L^2(0, 1)$ .

Легко видеть, что те же коэффициенты Фурье  $\beta_k(t)$  определяют и функцию  $\alpha_0(t)$ , задаваемую равенством

$$A(t; u, v) = \alpha_0(t) + \pi u + \sum_{k \geq 1} \beta_k(t) e^{\pi k u} \cos \pi k v.$$

Ясно, эту функцию можно выразить также равенством

$$a(t, v) = \alpha_0(t) + \alpha(t, v), \quad \alpha(t, v) = \sum_{k \geq 1} \beta_k(t) \cos \pi k v.$$

Действительно, приращение площади  $|\Omega_t| = 2|\Omega_t^+|$  области  $\Omega_t$  за единицу времени равно

$$\int_{\Gamma} \dot{\mathbf{s}} d\Gamma \stackrel{(1.1)}{=} \int_{\Gamma} \frac{\partial u}{\partial \nu} d\Gamma,$$

т.е. коэффициенту при  $\delta$ -функции в уравнении (1.2). Другими словами,

$$\frac{d}{dt} |\Omega_t^+| = 1 \iff |\Omega_t^+| = t + t_0, \quad t_0 = |\Omega_0^+|. \quad (1.10)$$

В терминах функции Гельмгольца — Кирхгофа это условие принимает вид

$$\frac{d}{dt} \int_0^1 \left( \int_{-\infty}^0 e^{2A(t; u, v)} du \right) dv = 1,$$

поскольку якобиан отображения  $w \mapsto e^{A+iB}$  равен  $|\partial z / \partial w| \stackrel{(1.5)}{=} e^{2A}$ . Отсюда следует, что коэффициент  $e^{a(t, v)}$  продольной деформации контура  $\Gamma$  определяется из уравнения (1.10). Поэтому он, а потому и функция  $\alpha_0(t)$ , зависят от  $|\Omega_0|$  и коэффициентов Фурье  $\beta_k(t)$ . Таким образом, искомая деформация начальной кривой  $\Gamma_0$ , определяемая задачей Коши для уравнения (1.9), полностью характеризуется эволюцией коэффициентов Фурье  $\beta_k(\cdot)$  в разложении

$$\beta(t, v) = \sum_{k \geq 1} \beta_k(t) \sin \pi k v.$$

**Теорема 1.1** (см. [26]). Уравнение (1.9) представимо в виде

$$\dot{\beta} - \mathbf{K}(\beta)\dot{\beta} = \frac{1}{2(t + t_0)} \mathbf{F}(\beta). \quad (1.11)$$

Здесь  $\mathbf{K} = \mathbf{K}_0 + \mathbf{K}_1$  и  $\mathbf{F} = \mathbf{F}_0 + \mathbf{F}_1$ , где

$$\begin{aligned} [\mathbf{K}_0(\beta)\dot{\beta}](t, v) &= b'(t, v) e^{-\alpha(t, v)} \int_0^v e^{\alpha(t, \eta)} \dot{\alpha}(t, \eta) d\eta, \\ [\mathbf{K}_1(\beta)\dot{\beta}](t, v) &= \left( \sum_{j \geq 1} \frac{2\beta_j \dot{\beta}_j}{j+1} \right) \sum_{k \geq 1} \frac{(-1)^{k-1}}{k} \sin \pi k v + [\mathbf{r}_1(\beta)\dot{\beta}](t, v), \\ [\mathbf{F}_0(\beta)](t, v) &= \frac{1}{\pi} \left\{ e^{-2\alpha} \alpha' - b' e^{-\alpha} \int_0^v e^{-\alpha} b' d\eta + \pi b' e^{-\alpha} \int_0^v e^\alpha d\eta \right\}, \\ [\mathbf{F}_1(\beta)](t, v) &= \left( \sum_{j \geq 1} \frac{2\beta_j^2}{j+1} \right) \sum_{k \geq 1} \frac{(-1)^{k-1}}{k} \sin \pi k v + [\mathbf{s}_1(\beta)](t, v). \end{aligned}$$

При этом

$$|\mathbf{r}_1(\beta)\dot{\beta}| \leq C \|\beta\|_1^2 \|\beta\|_0, \quad |\mathbf{s}_1(\beta)| \leq C \|\beta\|_1^3,$$

где

$$\|\beta\|_1 = \max_t \sqrt{\sum_{k \geq 1} (k \beta_k(t))^2}, \quad \|\dot{\beta}\|_0 = \max_t \sqrt{\sum_{k \geq 1} (\dot{\beta}_k(t))^2}.$$

По координатно динамическая система (1.11) выглядит так:

$$2(t+t_0)(\beta_1 \dot{\beta}_1 + r_1(\beta) \dot{\beta}) = (-\beta_1^2 + 2 \sum_{j \geq 2} \beta_j^2) + s_1(\beta),$$

$$2(t+t_0)(\dot{\beta}_k + r_k(\beta) \dot{\beta}) = -(k+2)\beta_k + s_k(\beta), \quad k \geq 2,$$

зде

$$|r_k(\beta) \dot{\beta}| \leq C \|\beta\|_1^{1+\operatorname{sgn}|k-1|} \|\dot{\beta}\|_0, \quad |s_k(\beta)| \leq C \|\beta\|_1^{2+\operatorname{sgn}|k-1|}.$$

Из теоремы 1.1 с помощью кропотливых функционально-геометрических построений может быть выведена следующая теорема.

**Теорема 1.2** (см. [25]–[27]). *Если начальный контур  $\Gamma_0$  — малое (определенное формулами (1.2)) возмущение окружности радиуса  $R(0)$ , то в случае источника его эволюция  $\Gamma_t$  продолжается бесконечно долго и она единственна на любом временном интервале. Отклонение  $\Gamma_t$  от окружности радиуса  $R(t) = \sqrt{R^2(0) + 2t/\pi}$ , начиная с некоторого момента, почти монотонно стремится к нулю. Точнее, существует число  $\rho \in (0, 1/8)$  такое, что для любого  $\mu \in (0, 1)$  функция*

$$[0, 1] \ni v \mapsto b(t, v) = \pi v + \beta(t, v), \quad \beta(t, v) = \sum_{n \geq 1} \beta_n(t) \sin \pi n v, \quad (1.12)$$

определенная контур  $\Gamma_t$ , существует при любом  $t > 0$ , если только начальная угловая функция, задающая контур  $\Gamma_0$ , т.е. функция

$$[0, 1] \ni v \mapsto b(0, v) = \pi v + \sum_{n \geq 1} \beta_n^0 \sin \pi n v, \quad (1.13)$$

удовлетворяет условию

$$\sum_{k \geq 2} (k \beta_k^0)^2 \leq (\mu \rho)^{1/2} |\beta_1^0|^{3/2}, \quad 0 < |\beta_1^0| \leq \mu \rho.$$

При этом

$$|\dot{\beta}_1(0) - \dot{\bar{\beta}}_1(0)| \leq \mu, \quad \sqrt{\sum_{k \geq 2} |\dot{\beta}_k(0) - \dot{\bar{\beta}}_k(0)|^2} \leq \mu,$$

зде

$$\dot{\bar{\beta}}_1^2(t) = \frac{1}{t+t_0} \left( t_0 \beta_1^2(0) + 2 \sum_{k \geq 2} \beta_k^2(0) \int_0^t \frac{d\tau}{(1+\tau/t_0)^{k+2}} \right), \quad (1.14)$$

$$\dot{\bar{\beta}}_k(t) = \frac{\beta_k(0)}{(1+t/t_0)^{k/2+1}}. \quad (1.15)$$

Кроме того, существует константа  $C$  (немного превосходящая единицу) такая, что при любом  $t \geq 0$  справедливы оценки

$$|\dot{\beta}_1(t) - \dot{\bar{\beta}}_1(t)| \leq C \mu, \quad \sqrt{\sum_{k \geq 2} |\dot{\beta}_k(t) - \dot{\bar{\beta}}_k(t)|^2} \leq C \mu.$$

Векторное поле  $(\dot{\bar{\beta}}_1, \dot{\bar{\beta}}_k)$  для случая  $\beta_j(0) = 0$  при  $j \neq 1$  и  $j \neq k$ .

**Замечание 1.1.** Формулы (1.15) объясняют природу отмеченного выше результата: если в случае  $qt < 0$ , т.е. стока, задача (1.1)–(1.3) разрешима при любом сколь угодно малом  $t$  (в нашем случае  $q = 2 > 0$  это означает, что речь идет о любом малом отрицательном  $t$ ), то начальный контур  $\Gamma_0$  необходимо аналитичен. Действительно, в силу (1.15) функция (1.12) будет определена при сколь угодно малом  $t < 0$  лишь тогда, когда коэффициенты Фурье  $\beta_k^0 = \beta_k(0)$  функции (1.13) экспоненциально быстро убывают и определяют тем самым (см., например, [28, § 12]) аналитическую функцию.

Отметим также, что последнее утверждение (о бесконечном по времени “дрейфе” возмущенной окружности; ср. с [29]) согласуется с таким фактом: если при деформации  $t \mapsto \Gamma_t$  кривая  $\Gamma_{t_*}$  при некотором конечном  $t_* \neq 0$  гомотетична окружности с центром в начале координат  $\{0\}$ , т.е. там, где локализован источник-сток, то кривая  $\Gamma_0$ , а потому и все кривые  $\Gamma_t$  гомотетичны той же самой окружности.

## 2. Квазиконтурная модель. Критическое многообразие. Аттрактор-репеллер

Теорема 1.2 проясняет эволюцию слабых возмущений окружности (частично представленную на рис. 1). В случае произвольного начального контура уравнение (1.11) изучалось в рамках аппроксимационной так называемой квазиконтурной [30]–[32] (ранее именовавшейся полигональной [34], конечноточечной [33]) модели задачи (1.1)–(1.3).

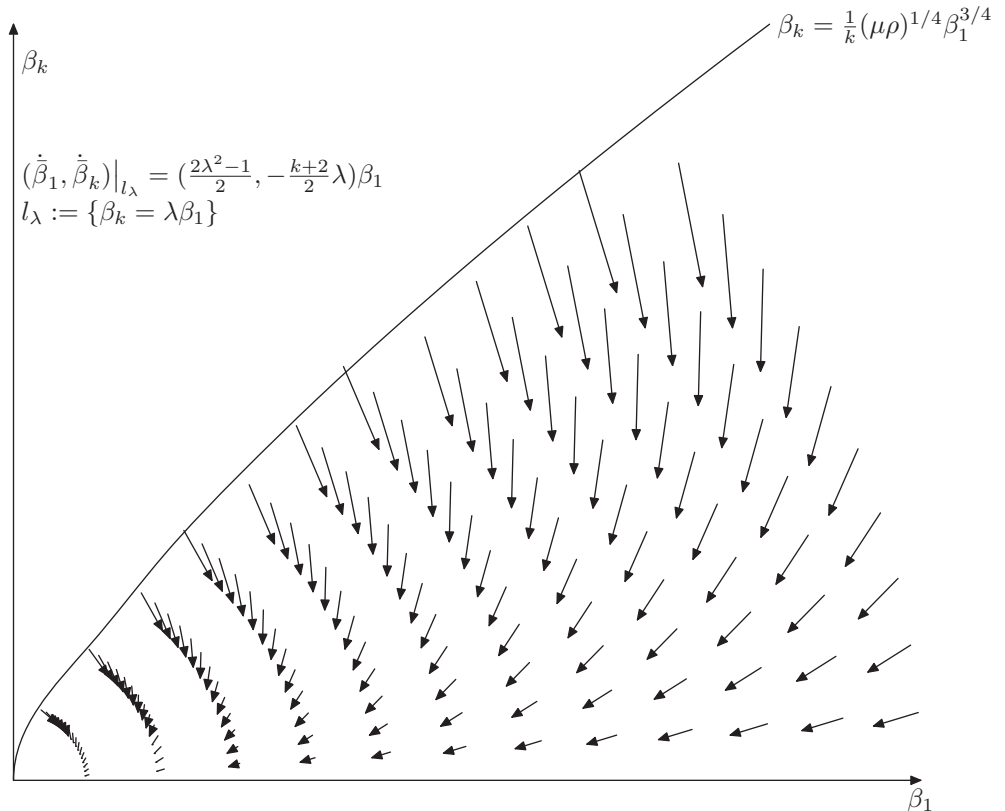


Рис. 1. Векторное поле  $(\dot{\beta}_1, \dot{\beta}_k)$  для случая  $\beta_j(0) = 0$  при  $j \neq 1$  и  $j \neq k$ .

**2.1.** Квазиконтурная модель задачи (1.1)–(1.3) отличается от самой этой задачи лишь в следующем.

Во-первых, класс гладких кривых  $\Gamma_t$  заменен на класс квазиконтуров. Ими являются полигональные контуры  $\Gamma_t^m$ , ограничивающие полигональные области  $\Omega_t^m$ , симметричные (как и области  $\Omega_t$ ) относительно оси  $Ox$ . Ординаты вершин  $s_0, s_{\pm 1}, \dots, s_{\pm m}$  квазиконтура  $\Gamma_t^m$  имеют знак своего индекса, в частности, вершина  $s_0$  лежит на положительной полуоси  $Ox$ . Эти вершины образуют  $2m + 1$  его сторон  $[s_0, s_{\pm 1}], [s_{\pm 1}, s_{\pm 2}], \dots, [s_{\pm(m-1)}, s_{\pm m}], [s_m, s_{-m}]$ .

Во-вторых, эволюция этих сторон определяется движением вершин квазиконтура  $\Gamma_t^m$ , согласно нижеприведенному условию (2.1) (наследующему условие Стокса (1.2) и динамическое условие Лейбензона (1.3)), а также условию (2.3) (наследующему кинематическое условие (1.1)).

Введем вектор-функцию  $\mathbf{N} : t \mapsto \mathbf{N}(t) = (N_1(t), \dots, N_m(t))$  и вектор  $\sigma = (\sigma_1, \dots, \sigma_m)$ , в терминах которых будем задавать квазиконтур  $\Gamma_t^m$ . Здесь и ниже через  $N_j(t)$  обозначен угол

наклона к оси  $Ox$  внешней нормали к  $j$ -й стороне  $[s_{j-1}, s_j]$  квазиконтура  $\Gamma_t^m$ . При этом для <sup>1)</sup>  $j = 1, \dots, m$

$$\begin{aligned} -\pi/2 &< N_1 < \pi/2, \\ -\pi &< N_k - N_{k-1} < \pi \quad \forall k \in \{2, \dots, m\}, \\ 0 &< N_m < 2\pi. \end{aligned}$$

Далее, параметр  $\sigma = (\sigma_1, \dots, \sigma_m)$  однозначно определяется по начальному контуру  $\Gamma_0^m$  через решение задачи

$$u_{xx} + u_{yy} = 2\delta(x, y) \quad \text{в } \Omega_t^m, \quad u = 0 \quad \text{на } \Gamma_t^m \quad (2.1)$$

при  $t = 0$  и задает посредством формул (2.2) длины сторон квазиконтура  $\Gamma_t^m$ . А именно,  $\sigma_k$  есть то значение функции  $v$ , гармонически сопряженной в  $\Omega_t^m \cap \mathbb{R}_+^2$  к функции  $u$ , при котором  $k$ -я вершина  $s_k \in \Gamma_t^m$  принадлежит линии уровня  $\{(x, y) \in \Omega_t^m \mid v(x, y) = \sigma_k\}$ . Очевидно, что

$$0 = \sigma_0 < \sigma_1 < \dots < \sigma_m < \sigma_{m+1} = 1$$

а координаты  $(x_k, y_k)$  вершины  $s_k$  (для  $k = 1, \dots, m$ ) определяются в соответствии с (1.6) по формулам

$$x_k = x_0 - \int_0^{\sigma_k} e^a \sin b \, dv, \quad y_k = \int_0^{\sigma_k} e^a \cos b \, dv, \quad (2.2)$$

где

$$x_0 = \int_{-\infty}^0 e^{A(t; u, 0)} \, du, \quad a(t, v) + ib(t, v) = A(t; 0, v) + iB(t, 0, v),$$

а функция Гельмгольца — Кирхгофа

$$A + iB : w = u + iv \mapsto A(t; u, v) + iB(t; u, v) = \ln \left| \frac{\partial z(t; w)}{\partial w} \right| + i \arg \frac{\partial z(t; w)}{\partial w}$$

соответствует для  $z = x + iy \in \Omega_t^m \cap \mathbb{C}_+$  (ср. с (1.5)) решению  $u : (x, y) \mapsto u(x, y)$  задачи (2.1).

Что касается кинематического условия для квазиконтура  $\Gamma_t^m$ , то (учитывая (1.1)  $\Leftrightarrow$  (1.8)) зададим его формулой

$$R_k = \dot{x}_k \cos b_k + \dot{y}_k \sin b_k, \quad k = 0, \dots, m, \quad (2.3)$$

где  $b_k = b(t, \sigma_k)$ , а  $R_k$  — это “нормальная” скорость точки  $s_k \in \Gamma_t^m$ , точнее, алгебраическое значение проекции скорости точки  $s_k \in \Gamma_t^m$  на внешнюю “нормаль” к  $\Gamma_t^m$ , которая есть биссектриса внешнего угла при вершине  $s_k$  полигона  $\Gamma_t^m$ . Полагая  $N_0 \stackrel{\text{def}}{=} -N_1$ , заметим, что

$$b_0 = 0, \quad b_k = \frac{N_k + N_{k+1}}{2}, \quad k = 0, 1, \dots, m.$$

Отметим очевидное утверждение.

**Предложение 2.1.** *Квазиконтур  $\Gamma_0$  — правильный  $(2m+1)$ -многоугольник, а источник сток находится в его центре если и только если  $(\mathbf{N}, \boldsymbol{\sigma}) = (\widehat{\mathbf{N}}, \widehat{\boldsymbol{\sigma}}) \stackrel{\text{def}}{=} (\widehat{N}_1, \dots, \widehat{N}_m; \widehat{\sigma}_1, \dots, \widehat{\sigma}_m)$ , где*

$$\begin{aligned} 2\widehat{N}_1 &= \widehat{N}_2 - \widehat{N}_1 = \dots = \widehat{N}_{m+1} - \widehat{N}_m = \frac{2\pi}{2m+1}, \\ \widehat{\sigma}_1 &= \widehat{\sigma}_2 - \widehat{\sigma}_1 = \dots = \widehat{\sigma}_m - \widehat{\sigma}_{m-1} = \frac{2}{2m+1}. \end{aligned}$$

<sup>1)</sup> Угол наклона внешней нормали к другим сторонам квазиконтура определяется из условия его симметрии относительно оси  $Ox$ . В частности, угол наклона к  $(m+1)$ -й стороне  $[s_m, s_{-m}]$  равен  $\pi$ .

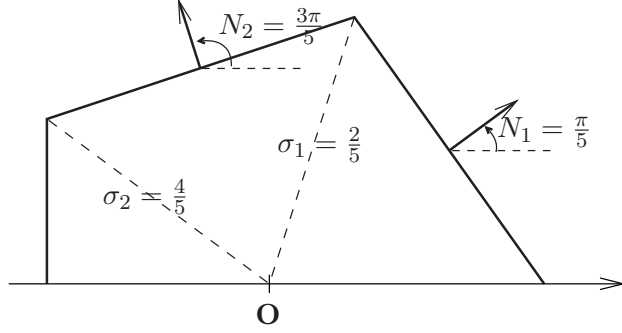


Рис. 2. Верхняя часть правильного пятиугольного квазиконтура  $\Gamma_t^5$ , в центре которого источник или сток.

Согласно сказанному выше квазиконтур  $\Gamma_t^m$  однозначно задается параметром  $\sigma = \sigma(\Gamma_0^m)$  и вектор-функцией  $\mathbf{N} : t \mapsto \mathbf{N}(t)$ .

**Теорема 2.1** (см. [32]). *Вектор-функция  $\mathbf{N} : t \mapsto \mathbf{N}(t) = (N_1(t), \dots, N_m(t))$  является решением матричного уравнения*

$$Q(\mathbf{N}, \sigma) \dot{\mathbf{N}} = \exp(-2\alpha_0) P^0(\mathbf{N}, \sigma) + \dot{\alpha}_0 P^1(\mathbf{N}, \sigma),$$

где

$$e^{-2\alpha_0(t)} = (t + |\Omega_0^+|) \int_0^1 \left( \int_{-\infty}^0 e^{2(\pi u + \sum_{k \geq 1} \beta_k(t) e^{\pi k u} \cos \pi k v)} du \right) dv,$$

$$\beta_k(t) = \frac{2}{k} \left( N_1(t) + \sum_{j=1}^m \frac{N_{j+1}(t) - N_j(t)}{\pi} \cos k\pi\sigma_j \right),$$

а элементы матрицы  $Q = (q_{kj})_{1 \leq k, j \leq m}$ ,  $P^0 = (p_k^0)_{1 \leq k \leq m}$  и  $P^1 = (p_k^1)_{1 \leq k \leq m}$  имеют вид

$$q_{kj} = \frac{1}{\pi} \left[ \operatorname{tg} \frac{N_k - N_{k-1}}{2} \int_0^{\sigma_{k-1}} \frac{\ln f_j(\eta)}{g(\mathbf{N}, \eta)} d\eta + \operatorname{tg} \frac{N_{k+1} - N_k}{2} \int_0^{\sigma_k} \frac{\ln f_j(\eta)}{g(\mathbf{N}, \eta)} d\eta \right] + \delta_{kj} \int_{\sigma_{k-1}}^{\sigma_k} \frac{d\eta}{g(\mathbf{N}, \eta)},$$

$$\begin{aligned} p_k^0(\mathbf{N}) &= d_{k-1}(\mathbf{N}) \cos \frac{N_k - N_{k-1}}{2} - d_k(\mathbf{N}) \cos \frac{N_{k+1} - N_k}{2} \\ &\quad + (\delta_{k1} - 1) \operatorname{tg} \frac{N_k - N_{k-1}}{2} \sum_{j=1}^{k-1} \left[ d_{j-1}(\mathbf{N}) \sin \frac{N_j - N_{j-1}}{2} + d_j(\mathbf{N}) \sin \frac{N_{j+1} - N_j}{2} \right] \\ &\quad - \operatorname{tg} \frac{N_{k+1} - N_k}{2} \sum_{j=1}^k \left[ d_{j-1}(\mathbf{N}) \sin \frac{N_j - N_{j-1}}{2} + d_j(\mathbf{N}) \sin \frac{N_{j+1} - N_j}{2} \right], \end{aligned}$$

$$p_k^1(\mathbf{N}) = \operatorname{tg} \frac{N_k - N_{k-1}}{2} \int_0^{\sigma_{k-1}} \frac{d\eta}{g(\mathbf{N}, \eta)} + \operatorname{tg} \frac{N_{k+1} - N_k}{2} \int_0^{\sigma_k} \frac{d\eta}{g(\mathbf{N}, \eta)},$$

в которых  $\delta_{kj}$  — символ Кронекера,

$$f_j(\eta) = \left| \frac{\sin \frac{\pi}{2}(\eta + \sigma_{j-1}) \sin \frac{\pi}{2}(\eta - \sigma_{j-1})}{\sin \frac{\pi}{2}(\eta + \sigma_j) \sin \frac{\pi}{2}(\eta - \sigma_j)} \right|, \quad 1 \leq j \leq m,$$

$$f_{m+1}(\eta) = 2 \left| \sin \frac{\pi}{2}(\eta + \sigma_m) \sin \frac{\pi}{2}(\eta - \sigma_m) \right|,$$

$$g(\mathbf{N}, \eta) = 2 \prod_{k=1}^{m+1} f_k(\eta)^{N_k/\pi} \quad d_k(\mathbf{N}) = \frac{1}{\lambda_{k+1} - \lambda_k} \int_{\lambda_k}^{\lambda_{k+1}} g(\mathbf{N}, \eta) d\eta,$$

$$\lambda_k = \frac{\sigma_{k-1} + \sigma_k}{2}, \quad 1 \leq k \leq m, \quad \lambda_0 = -\lambda_1, \quad \lambda_{m+1} = 1.$$

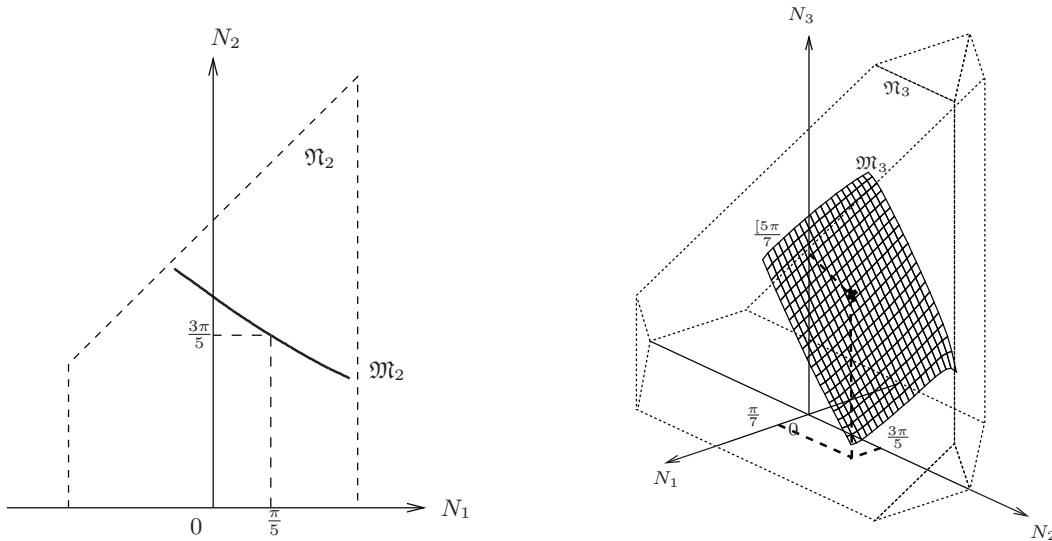


Рис. 3. Критические многообразия  $\mathfrak{M}_2(\mathbf{N}, \hat{\sigma})$  и  $\mathfrak{M}_3(\mathbf{N}, \hat{\sigma})$  в пространствах  $\mathfrak{N}_2(\mathbf{N}, \hat{\sigma})$  и  $\mathfrak{N}_3(\mathbf{N}, \hat{\sigma})$  соответственно.

**2.2.** Численный анализ [30]–[32] показал, что в пространстве  $\mathfrak{N}_m(\mathbf{N}, \sigma)$  квазиконтур  $\Gamma_t^m$  имеется многообразие  $\mathfrak{M}_m(\mathbf{N}, \sigma) = \{(\mathbf{N}, \sigma) \in \mathfrak{N}_m(\mathbf{N}, \sigma) \mid \det Q(\mathbf{N}, \sigma) = 0\}$  коразмерности 1, которое в [32] назовано *критическим*, поскольку оно связано с вырождением матрицы  $Q(\mathbf{N}, \sigma)$ , соответствующей оператору  $\mathbf{I} - \mathbf{K}(\beta)$ , фигурирующему в формуле (1.11).

Представленные на рис. 4 и 5 результаты численных расчетов, включая графики  $t \mapsto \det Q(t)$  и  $t \mapsto \ln \rho(t)$ , где  $\rho$  — максимально возможное отношение расстояний двух точек квазиконтура от источника-стока, показывают, что правильные квазиконтуры  $\Gamma_t^5 \in \mathfrak{M}_5(\mathbf{N}, \sigma)$  и  $\Gamma_t^7 \in \mathfrak{M}_7(\mathbf{N}, \sigma)$ , в центре которых расположен источник-сток, являются аттрактором в случае источника (и репеллером в случае стока). Такой же вывод в отношении окружности (являющейся правильным квазиконтуром с бесконечным числом сторон), в центре которой расположен источник-сток, дает теорема 1.2, проиллюстрированная на рис. 1.

Что касается эволюции малых возмущений других точек критического многообразия, то для тех точек  $\mathfrak{M}_m(\mathbf{N}, \sigma)$  (т.е. квазиконтур), для которых были проведены численные эксперименты, оказалось, что они, напротив, являются аттракторами в случае стока (и тем самым репеллерами в случае источника). В частности, на рис. 6 и 7 представлены подтверждающие этот факт результаты, а именно, данные об эволюции в случае стока децентрированной “окружности” (т.е. правильного децентрированного квазиконтура  $\Gamma_t^8$ ). Заметим, что представленные на этих рисунках данные об эволюции в случае стока децентрированной “окружности” полностью соответствуют упомянутому в начале статьи результату [6].

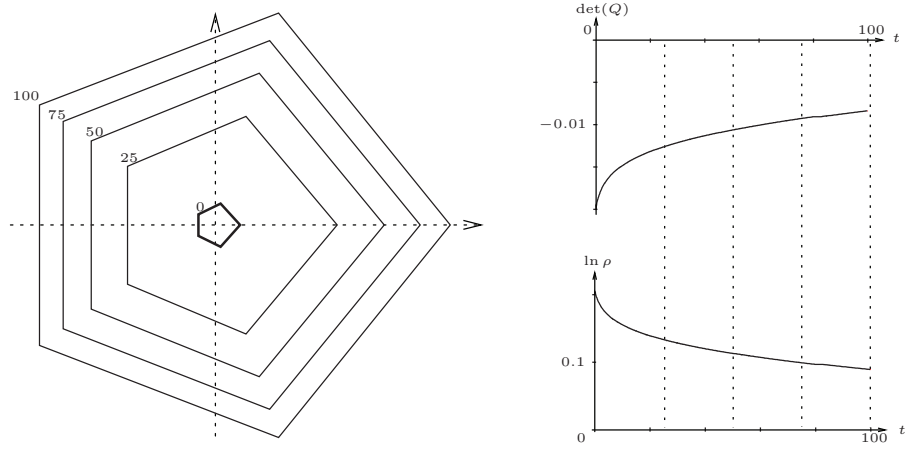


Рис. 4. Эволюция в правильный квазиконтур  $\Gamma_t^5$  с центрированным источником слабо возмущенного квазиконтура, для которого  $0 < N_1^0 - \pi/5 \ll 1, 0 < N_2^0 - 3\pi/5 \ll 1, \det Q(N^0) < 0$ .

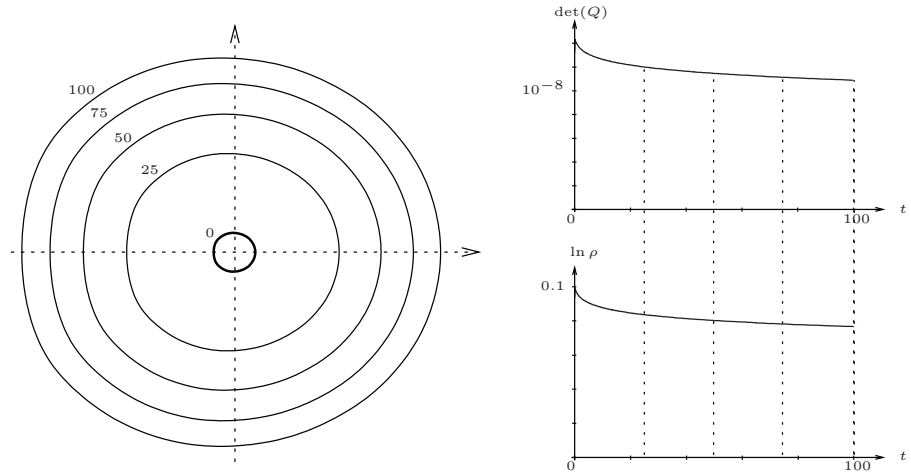


Рис. 5. Эволюция в (сплайн-интерполяционный) правильный квазиконтур  $\Gamma_t^7$  с центрированным источником слабо возмущенного квазиконтура.

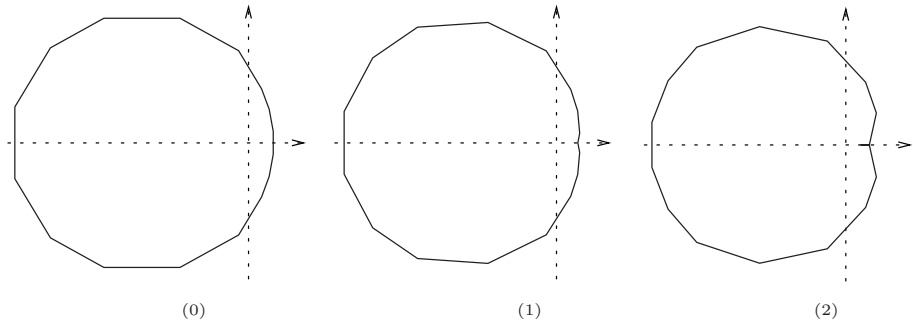


Рис. 6. Три стадии эволюции в случае стока децентрированной “окружности” Куфарева (декентрированного квазиконтура  $\Gamma_t^8$ ).

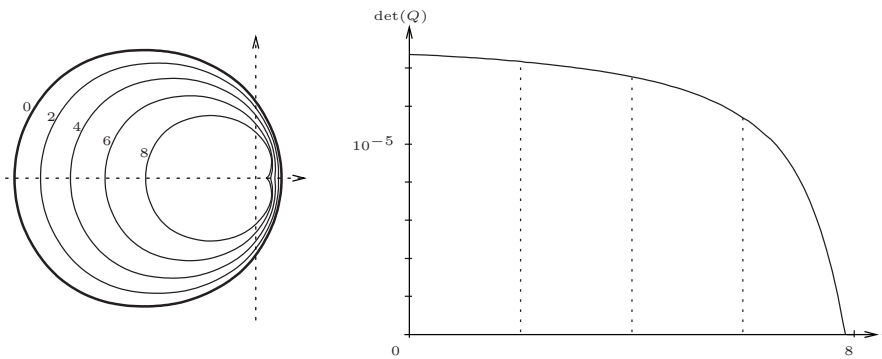


Рис. 7. Эволюция в случае стока децентрированной “окружности” Куфарева (децентрированного сплайн-интерполяционного квазиконтура  $\Gamma_t^8$ ).

### Литература

1. G. G. Stokes, “Mathematical proof of the identity of the stream lines obtained by means of viscous film with those of a perfect fluid moving in two dimensions”, *Brit. Ass. Rep.* 143–144 (1898).
2. Л. С. Лейбензон, *Нефтепромысловая механика. II*, Нефтеиздат, М. (1934).
3. Л. А. Галин, “Неустановившаяся фильтрация со свободной поверхностью”, *Докл. АН СССР* **47**, №. 4, 250–253 (1945).
4. П. Я. Полубаринова-Кочина, “К вопросу о перемещении контура нефтеносности”, *Докл. АН СССР* **47**, №. 4, 254–257 (1945).
5. П. Я. Полубаринова-Кочина, “О неустановившихся движениях в теории фильтрации: О перемещении контура нефтеносности”, *Прикл. мат. мех.* **9**, №. . 1, 79–90 (1945).
6. П. П. Куфарев, “Решение задачи о контуре нефтеносности для круга”, *Докл. АН СССР* **60**, №. 8, 1333–1334 (1948).
7. S. Richardson, “Hele-Shaw flows with a free boundary produced by the injection of fluid into a narrow channel”, *J. Fluid Mech.* **56**, 609–618 (1972).
8. Ю. П. Виноградов, П. П. Куфарев, “Об одной задаче фильтрации”, *Прикл. мат. мех.* **12**, №. 2, 181–198 (1948).
9. П. Я. Кочина /П.Я. Полубаринова-Кочина/, *Избранные труды. Гидродинамика и теория фильтрации*, Наука, М. (1991).
10. Дж. Р. Окендон, С. Д. Ховисон, “Кочина и Хеле-Шоу в современной математике, естественных науках и технике”, *Прикл. мат. мех.* **66**, №. 3, 515–524 (2002).
11. B. Gustafsson, “Applications of variational inequalities to a moving boundary problem for Hele-Shaw flows”, *SIAM J. Math. Anal.* **16**, 279–300 (1985).
12. B. Gustafsson, A. Vasil’ev, *Conformal and Potential Analysis in Hele-Shaw cells*, Birkhäuser, Basel (2006).
13. S. D. Howison, J. R. Ockendon, “Papers from the conference held in Oxford”, *Euro. J. Appl. Math.* **10**, 511–709 (1999).
14. A. M. Meirmanov, B. Zaltzman, “Global in time solution to the Hele-Shaw problem with a change of topology”, *Euro. J. Appl. Math.* **13**, 431–447 (2002).
15. Л. Н. Александров, *Кинетика кристаллизации и перекристаллизации полупроводниковых пленок*, Наука, Новосибирск (1985).
16. Е. Н. Каблов, *Литые лопатки газотурбинных двигателей*, МИСИС, М. (2001).
17. B. G. Thomas, Ch. Beckermann, *Modeling of Casting, Welding Advanced Solidification Processes*, San Diego, California (1998).
18. П. И. Плотников, В. Н. Старовойтов, “Задача Стефана, как предел системы фазового поля”, *Дифференц. уравнения* **29**, №. 3, 461–471 (1993).

19. G. Caginalp, “Stefan and Hele–Shaw type problems as asymptotics limits of the phase field equations”, *Phys. Rev. A* (3) **39**, No. 11, 5887–5896 (1989).
20. G. Caginalp, X. Chen, “Convergence of the phase field model to its sharp interface limits”, *Euro. J. Appl. Math.* **12**, 20–42 (2000).
21. В. Г. Данилов, Г. А. Омельянов, Е. В. Радкевич, “Асимптотическое решение системы фазового поля и модефицированная задача Стефана”, *Дифференц. уравнения* **31**, No. 3, 483–491 (1995).
22. J. Escher, G. Simonett, “Classical solutions of multidimensional Hele-Shaw models”, *SIAM J. Math. Anal.* **28**, No. 5, 1028–1047 (1997).
23. G. Prokert, “On evalution equations for moving domains,” *Z. Anal. Anwend.* **18**, No. 1, 67–95 (1999).
24. А. С. Демидов, “Функционально-геометрический метод решения задач со свободной границей для гармонических функций”, *Успехи мат. наук* **65** (1), 3–96 (2010).
25. А. С. Демидов, “Эволюция возмущения окружности в задаче Стокса–Лейбензона для течения Хил–Шоу,” *Соврем. мат. прилож.* **2**, 3–24 (2003).
26. А. С. Демидов, “Эволюция возмущения окружности в задаче Стокса–Лейбензона для потока ечения Хил–Шоу. Часть II,” *Соврем. мат. прилож.* **24**, 51–65 (2005).
27. А. С. Демидов, “Об эволюции слабого возмущения окружности в задаче о течении Хил–Шоу.” *Успехи мат. наук* **57**, No. 6, 177–178 (2002).
28. В. И. Арнольд, *Геометрические методы в теории обыкновенных дифференциальных уравнений*, ИРТ, Ижевск (2000).
29. A. Antontsev, A. M. Meirmanov, V. Yurinsky, *Hele–Shaw Flow in Two Dimensions: Global-in-Time Classical Solutions*, Preprint No. 6, Universidade da Beira Interior, Portugal (1999).
30. A. S. Demidov, J.-P. Lohéac, textit{A Quasicontour Model of Stokes–Leibenson Problem for Hele–Shaw Flows}, Preprint No. 328, CNRS UMR 5585 (2001).
31. A. S. Demidov, J.-P. Lohéac, “On the evolution near some attractive manifold in a problem for the Hele–Shaw flows”, In: *Abstracts of International Conference “Mathematical Ideas of P. L. Chebyshev and their Application for Modern Problems of Natural Sciences” (Obninsk, Russia, May 2002, 14–18)*, pp. 37–38 (2002).
32. A. S. Demidov, J.-P. Lohéac, ‘The Stokes–Leibenson problem for Hele–Shaw flows,’ In: *Patterns and Waves. Papers from the Conference on Patterns and Waves: Theory and Applications, St. Petersburg, Russia, July 8–13, 2002*, pp. 103–124, AkademPrint, St. Petersburg (2003). ‘
33. О. А. Васильева, А. С. Демидов, “Конечноточечная модель задачи Стокса–Лейбензона для Хил–Шоу течения”, *Фундам. матем. прикл.* **5**, No. 5, 67–84 (1999).
34. А. С. Демидов, “Полигональная модель для течения Хил–Шоу”, *Успехи мат. наук* **53**, No. 4, 195–196 (1998).
35. П. Я. Кошина, А. Р. Шкирич, “К вопросу о перемещении контура нефтеносности (эксперимент)”, *Изв. АН СССР, отд. техн. наук*, No. 11, 105–107 (1954).
36. P. G. Saffman, G. I. Taylor, “The penetration of a fluid into a porous medium of Hele–Shaw cell containing a more viscous liquid”, *Proc. Royal Soc. A* **245**, 312–329 (1958).

Статья поступила в редакцию 11 декабря 2012 г.